

مطالعه آزمایشگاهی رفتار چرخه‌ای دیوارهای بنایی غیرباربر تقویت شده با استفاده از میلگرد بستر و مش الیاف

مهمنگی عمران شریف، (جمهوری اسلامی ایران)، دوری شماره ۴، صفحه ۸۹-۹۴، (پژوهشی) ۱۴۰ (۲)

وحید رازقی (دانشجوی دکتری)

دانشکده‌ی مهندسی عمران، دانشگاه علم و فرهنگ

مژده زرگران* (دانشیار)

بخش مهندسی سازه، مرکز تحقیقات راه، مسکن و شهرسازی

علی نیکخو (دانشیار)

دانشکده‌ی مهندسی عمران، دانشگاه علم و فرهنگ

نادر خواجه احمد عطاری (استاد)

نرگس آزادوار (دکتری)

بخش مهندسی سازه، مرکز تحقیقات راه، مسکن و شهرسازی

عامل اصلی آسیب و خربی دیوارها در هنگام زلزله، ناپایداری و فروبریزش آن تحت اثر تقام جابه‌جایی درون صفحه دیوار تحت اثر جابه‌جایی نسبی طبقات و نیروی لرزه‌ای خارج از صفحه وارد به دیوار می‌باشد. در اغلب تحقیقات صورت گرفته، هر یک از ارگزاری درون‌صفحه‌ای و خارج از صفحه به صورت جداگانه بررسی شده‌اند یا اثر اندرکنشین بین این بارها به صورت جداگانه قرار گرفته است. در این تحقیق، رفتار دیوار غیر سازه‌ای تحت اثر تقام جابه‌جایی درون‌صفحه‌ای و بار برون صفحه‌ای مورد مطالعه قرار گرفته است و تأثیر مسلح سازی دیوارهای غیر سازه‌ای جداسازی شده از قاب سازه‌ای با استفاده از ملات مسلح شده به شبکه الیاف و میلگرد بستر بررسی شده است. به این منظور سه نمونه دیوار جداسازی شده از بلوك لیکا ساخته شد. نمونه‌های مسلح شده با دو روش استفاده از میلگرد بستر و استفاده از شش الیافی با مقیاس ۱ به ۱ تحت بار توانان چرخه‌ای درون صفحه‌ای و بار ثابت برون صفحه‌ای ارزیابی شده و با دیوار شاهد غیر مسلح مقایسه شد. نتایج حاصل از این آزمایشات نشان داد که نمونه دیوار غیر سازه‌ای غیر مسلح تحت بار خارج از صفحه زلزله در تعییر مکان نسبی کم داخل صفحه دچار خرابی و ریزش شد. از طرفی، دیوار غیر سازه‌ای مسلح شده به شبکه الیاف افزایش ۱۵ و ۵۴ درصدی در تعییر مکان نسبی مربوط به کاهش مقاومت دیوار و حداقل نیروی داخل صفحه نسبت به دیوار غیر سازه‌ای مسلح شده با میلگرد بستر نشان داد.

v.razeghi@stu.usc.ac.ir
m.zargaran@bhrc.ac.ir
nikkhoo@usc.ac.ir
n.attari@bhrc.ac.ir
narges.azadvar@yahoo.com

واژگان کلیدی: دیوار بنایی، رفتار لرزه‌ای، ملات مسلح شده به شبکه الیاف، میلگرد بستر، TRC.

۱. مقدمه

دیوار داخلی، جانپناه، راه پله، سقف کاذب و نما اشاره کرد. در این میان، بیشترین آسیب وارد در زلزله‌های اخیر ناشی از آسیب وارد به دیوارهای خارجی و داخلی بلوکی بوده است.

صالح بنایی در بسیاری از کشورها، از جمله ایران، کاربرد فراوانی در ساخت و ساز داشته و بطور گسترش در المان‌های سازه‌ای و غیر سازه‌ای مورد استفاده قرار

اعضای غیرسازه‌ای معماری، از جمله دیوارهای داخلی و خارجی ساختمان‌ها، در

زلزله آسیب‌پذیر بوده و تاکنون موجب خسارت‌های جانی و مالی فراوانی در سطح

جهانی و به ویژه در ایران شده است. از جمله این اجزا می‌توان به دیوار خارجی، تیغه،

* نویسنده مسئول

تاریخ: دریافت ۲۶، ۱۰، ۱۴۰۱، /صلاحیه ۲۳، ۱/۲۱، پذیرش ۲۸، ۱۴۰۲.

استاد به این مقاله:

رازقی، وحید، زرگران، مژده، نیکخو، علی، خواجه احمد عطاری نادر، و آزادوار، نرگس، ۱۴۰۲. مطالعه آزمایشگاهی رفتار چرخه‌ای دیوارهای بنایی غیرباربر تقویت شده با استفاده از میلگرد بستر و مش الیاف. مهندسی عمران شریف، ۴(۳۹)، صص. ۹۹-۸۹. DOI:10.24200/J30.2023.61543.3185.

جلوگیری از شکست ترد، کاهش خرابی مصالح و تلفات جانی، از روش TRM استفاده کردند. در این تحقیق، ساختار شبکه الیاف تقویت‌کننده به گونه‌ای تعیین شد که چسبندگی آن به ملات بهینه شود. بر اساس نتایج به دست آمده، مشاهی پیشنهادی در جلوگیری از خرابی ترد و جدایش زودرس مصالح بنایی آجری در هنگام زلزله موثر بودند. همچنین، ملات با مقاومت بیشتر موجب مقاومت اتصال بیشتر شده و ملات با مقاومت کمتر، رفتار شکل‌بزیرتی را پس از پیک مقاومت نشان داده است.^[۱]

همچنین، بربنات و همکاران در دو مطالعه مجزا به بررسی عملکرد روش TRM در تقویت دیوارهای بنایی پرداختند. در یک مطالعه آزمایشگاهی، آن‌ها تعدادی دیوار بنایی با ابعاد واقعی تقویت شده به روش TRM را تحت بارگذاری فشاری خارج از مرکز قرار دادند. مشخصه‌های مورد بررسی در این پژوهش عبارتند از: نوع شبکه الیاف، تعداد لایه مورد استفاده، نوع ملات و همچنین استفاده از اتصال دهنده‌های لایه تقویت به دیوار بنایی به منظور افزایش چسبندگی. براساس نتایج این تحقیق، تمامی ملات‌ها از مقاومت اتصال لازم که چسبندگی TRM به دیوار بنایی را تضمین نماید، برخوردار بودند. بنابراین، هیچ‌گونه اتصال دهنده‌ای برای دیوارهای تقویت شده تحت بارهای فشاری خارج از صفحه نیاز نبود. علاوه بر این، استفاده از TRM، افزایش 100° درصدی مقاومت را به همراه داشت و موجب رفتار سخت‌تر دیوار به صورت درون صفحه و برون صفحه شد که سختی درون صفحه دیوار، بسته به نوع ملات و سختی برون صفحه واپسگردی بیشتری به نوع و مقدار الیاف داشت. استفاده از TRM، دیوار را یکپارچه کرده و از پراکنده‌گی در حین خرابی جلوگیری کرد. این موضوع می‌تواند موجب تکیه بیشتر بر روی این روش به عنوان روشی برای مقاوم سازی، تقویت و یا حتی ساخت ساختمان جدید باشد.^[۱۲]

در مطالعه‌ای دیگر، بربنات و همکاران نحوه اعمال روش TRM در سازه‌های بنایی را مورد بررسی قرار دادند. براساس نتایج، استفاده از روش پاششی در مقایسه با روش دستی موجب افزایش قابل توجه در بهره‌وری و شکل‌بزیری شد. اگرچه باید ذکر کرد که افزایش مقاومت، قابل توجه نبوده است.^[۱۳] دارآباد و همکاران، با انجام آزمایش کشش قطعی بر روی ۴ دیوار بنایی، رفتار درون صفحه دیوارهای بنایی بتنی غیرمسلح تقویت شده از خارج با استفاده از FRCM را مورد بررسی قرار دادند. بر اساس نتایج، با نسبت تقویت برابر، ظرفیت برش FRP و FRCM مشابه می‌باشدند. افزایش درصد تسليح وابسته به مقاومت فشاری واحد بنایی است، چرا که اگر حاکم شود، افزودن درصد تسليح بی فایده خواهد بود.^[۱۴] پانیکولا و همکاران، روش TRM را به عنوان روشی برای افزایش ظرفیت باربری و قابلیت تغییر شکل دیوارهای بنایی غیر مسلح تحت بارگذاری چرخه‌ای درون صفحه به صورت آزمایشگاهی بررسی کردند. به این منظور، ۲۲ دیوار بنایی با مقیاس متوسط تحت بارهای چرخه‌ای درون صفحه قرار گرفت. مشخصه‌های مورد بررسی در این مجموعه، آزمایش مصالح ملات، تعداد لایه‌های تقویت و میزان تنش فشاری وارد بر نمونه بوده است. بر اساس نتایج، TRM به عنوان راه حل مناسبی برای بهبود رفتار داخل صفحه دیوارهای بنایی معروفی شده است. براساس مقاومت، کارایی TRM نسبت به FRCM تا اندازه‌ای کمتر بوده است و از لحاظ تغییر شکل (که در طراحی لرزه‌ای بسیار حائز اهمیت است) کارایی TRM از FRP بیشتر می‌باشد.^[۱۵] تریتاپلیو و همکاران، راجع به استفاده از ژاکت‌های TRM با الیاف کربن به جای ژاکت‌های FRP تحقیق کردند و تأثیر تسليح بتن با الیاف و رزین اپوکسی را با هم مقایسه کرده و تأثیر تعداد لایه‌های الیاف و مقاومت ملات را بررسی کردند. آزمایش‌ها نشان داد ژاکت‌های TRM موجب افزایش مقاومت و شکل‌بزیری شده است. در این تحقیق نشان داده شد که مقاومت ملات و تعداد لایه‌های الیاف هر دو تأثیر زیادی بر

می‌گیرند. این مصالح از منظر لرزه‌ای ضعیف بوده و وزن بالا و شکل‌بزیری پایین دارند. عامل موثر دیگر در رفتار لرزه‌ای نامناسب دیوارهای بنایی، اتصال نامناسب آن‌ها به ساره باربر جانبی اصلی می‌باشد. روش‌های اجرایی فعلی به نحوی هستند که در حین زلزله، تغییر مکان‌های جانبی سیستم باربر جانبی به دیوارهای غیر سازه‌ای متعلق شده و با توجه به ظرفیت تغییر شکل اندک، دیوار دچار آسیب شدید داخل صفحه شده و این آسیب، دیوار را مستعد فروریزش خارج از صفحه خواهد نمود. نمونه‌های بسیاری از چنین تخریب‌هایی در زلزله‌های گذشته مشاهده شده است. به منظور جلوگیری از آسیب‌های ناشی از تخریب این المان‌ها، روش‌های مختلفی ارائه و مورد آزمایش قرار گرفته است. از جمله این روش‌ها می‌توان به استفاده از شاتکریت^[۱]، بسته‌های متصل کننده دیوار به ستون^[۲]، میلگرد بستر^[۳]، پلیمر مسلح شده به الیاف (FRP)^[۴] و ملات مسلح شده به شبکه الیاف (TRC)^[۵] اشاره کرد. بر اساس پیوست ششم استاندارد ۲۸۰۰^[۶] و تجدید نظر اول نشریه ۷۱۴ سازمان برنامه و بودجه^[۷]، مسلح کردن دیوار به دو روش استفاده از میلگرد بستر و استفاده از مشیل الیاف (TRC) مجاز می‌باشد. روش استفاده از میلگرد بستر یکی از روش‌های قدیمی مسلح کردن دیوارهای مصالح بنایی است که روش طراحی آن در Eurocode ۶ ACI ۵۳۰-۱۱ و در سالهای اخیر بر روی آن انجام شده است. در ادامه، به منظور شناخت و بیان روش تقویت دیوارهای بنایی با استفاده از TRM^[۸] به معرفی روش TRC پرداخته شده است.

به دلیل مشکلات موجود در استفاده از روش پلیمر مسلح به الیاف، تلاش‌های فراوانی برای یافتن جایگزین آن انجام شده است. از میان روش‌های مختلف، استفاده از ملات مسلح شده به شبکه الیاف با توجه به سازگاری مناسب تر مکانیکی و شیمیایی با زیرسازه، از برتری قابل توجهی برخوردار است. یکی از برترین مزیت‌های این روش، غلبه بر ضعف چسبندگی و مسائل مرتبط با رطوبت می‌باشد. این روش در نوشتارهای مختلف با نام‌های مختلفی از جمله FRCM، TRC، TRM^[۹] یا IMG^[۱۰] شناخته می‌شود. در این روش، شبکه الیاف تقویت کننده از رشته‌های باقته شده حداقل در دو جهت عمود برهم ساخته شده‌اند. تراکم شبکه الیاف (مقدار و فاصله چشممه‌ها) که به عنوان مشخصه مکانیکی آن شناخته می‌شود، قابل کنترل است. این موضوع بر سطح نفوذ ملات به داخل چشممه‌ها نیز مؤثر است. امروزه داشش در زمینه TRM به مراتب کمتر از FRP می‌باشد و تحقیقات بر روی این روش همچنان ادامه دارد.

روش TRM موجب بهبود مقاومت داخل و خارج از صفحه دیوار بنایی (بسته به تعداد لایه‌های الیاف و همچنین نوع ملات)، ظرفیت شکل‌بزیری (بسته به نوع و هندسه نمونه)، خرابی الیاف وابسته و یالغزش شبکه الیاف در ملات می‌شود. این روش در ابتدا به منظور تقویت سازه‌های بتنی مسلح توسعه یافت^[۱۱]، اما خلیلی زود توانست با فایق آمدن بر مسائل مرتبط با استفاده از FRP، در سازه‌های بنایی نیز جایگزین شود.

به منظور شناخت روش تقویت دیوارهای بنایی با استفاده از TRM، مطالعات آزمایشگاهی مختلفی توسعه محققین مختلف صورت گرفته است. به طور کلی، مشخصه‌هایی همچون تعداد لایه، انواع مختلف تسليح، نوع ملات و مهار لایه تقویت به زیرسازه مورد بررسی قرار گرفته‌اند. لازم به ذکر است، روش اعمال ملات به دو صورت معروف به ملات دستی^[۱۲] یا پاششی^[۱۳] صورت می‌گیرد. از جمله این تحقیقات می‌توان به تحقیق انجام شده توسعه ماریتیز و همکاران اشاره کرد. آن‌ها به منظور تقویت سازه‌های بنایی در جهت بهبود عملکرد لرزه‌ای،

شده توسط آین نامه اعمال شده است. سپس، در حضور بار خارج از صفحه، یک بار دیگر چرخه جایه‌جایی داخل صفحه اعمال شده است. با استفاده از این روش، با بررسی میران تغییر مکان‌های خارج از صفحه، دیوار غیرسازه‌ای تحت بار یکسان اما تحت اثر جایه‌جایی‌های داخل صفحه مختلف قاب (دامنه‌های مختلف بارگذاری داخل صفحه) می‌توان تأثیر جایه‌جایی داخل صفحه قاب بر کاهش ظرفیت باربری خارج از صفحه دیوار غیرسازه‌ای را ارزیابی نمود. همچنین، با مقایسه دو چرخه بارگذاری داخل صفحه که یکی با حضور بار خارج از صفحه و دیگری بدون آن است، می‌توان اثر بار خارج از صفحه بر روی رفتار داخل صفحه را بررسی کرد. این امر می‌تواند در تامین پایداری قاب نقش داشته باشد. نمونه‌های دیوار به ضخامت ۱۵۰ میلی‌متر به ابعاد ۳۰۰۰ × ۳۰۰۰ میلی‌متر در قاب فولادی ساخته شده است. برای ساخت نمونه‌های دیوار جهت انجام این مجموعه آزمون‌ها قاب فولادی به ابعاد ۳۰۰۰ × ۳۰۰۰ میلی‌متر ساخته شد. ستون‌ها و تیر از مقطع IPE۱۸۰ و اتصال تیر به ستون از نوع مفصلی بوده است. با توجه به اینکه جزئیات اتصال دیوار به ستون‌های کناری از نوع اتصال کشویی با استفاده از نبیشی گرم نورد انتخاب شده است، لازم بود قبل از اجرای دیوار، نبیشی‌ها در محل خود بر روی ستون (۳ نبیشی با فواصل یک چهارم ارتفاع ستون) جوش شود. نبیشی‌های مورد استفاده از نوع نبیشی نمره ۶ به طول ۱۰۰ میلی‌متر بوده است.

سیستم تسليح دارند.^[۱۶] امپرس دریافت که سختی بتن محصور شده با افزایش تعداد لایه‌های FRCM افزایش می‌یابد. افزایش دما موجب کاهش مقاومت در المان‌های محصور شده می‌شود، در حالی که در کرنش نهایی قابل چشم پوشی است.^[۱۷]

دکاسو وای باسلو و همکاران گروت‌های مختلف به عنوان ماتریس بتنی و الیاف بافت‌های مختلف (مش‌های یک جهه و دو جهه از الیاف شیشه‌ای با تراکم بالا یا تراکم پایین) را مورد بررسی قلل دادند.^[۱۸] کلاجانی و همکاران نشان دادند که المان‌های محصور شده با PBO موجب افزایش چشمگیر مقاومت و شکل‌پذیری می‌شوند.^[۱۹]

در تحقیقی دیگر، مقایسه دیوار مصالح بنایی تقویت شده با استفاده از FRP و TRC انجام شده است. بر اساس نتایج این تحقیق، ظرفیت مقاومت جانبی تقویت کننده‌های TRC پایین‌تر از FRCM بوده اما ظرفیت انعطاف‌پذیری به میران قابل توجهی افزایش یافته است.^[۲۰] در بیشتر مطالعات صورت گرفته، رفتار جداگانه درون صفحه با برون صفحه دیوار مورد بررسی قرار گرفته است. در پژوهش حاضر به بررسی تأثیر مسلح‌سازی دیوارهای جداسازی شده با استفاده از ملات مسلح شده به شبکه الیاف و روش مسلح‌سازی با میلگرد بستر تحت بارگذاری توامان درون صفحه‌ای و برون صفحه‌ای پرداخته شده است. این امر نتایج حاصل از تحقیق را به شرایط واقعی زلزله نزدیک تر خواهد کرد.

۲. روش تحقیق

در این تحقیق، سه نمونه آزمایشگاهی در مرکز تحقیقات راه، مسکن و شهرسازی مورد آزمایش قرار گرفته است تا تأثیر دو روش مسلح‌سازی بر رفتار لرزه‌ای دیوارهای مصالح بنایی مورد بررسی قرار گیرد. بخش‌های مختلف این آزمایشات در ادامه توضیح داده شده است.

۱.۱. نمونه‌های آزمایشگاهی

در این آزمایشات، سه دیوار مصالح بنایی با مقیاس ۱ به ۱ تحت آزمایش چرخه‌ای قرار گرفته‌اند تا اثر تغییر مکان درون صفحه قاب و دیوار بر روی عملکرد بیرون صفحه دیوار غیرسازه‌ای که با دو روش مختلف مسلح شده‌اند مورد بررسی قرار گیرد. روش‌های تسليح دیوار برای بارهای خارج از صفحه که در این مطالعه مورد استفاده قرار گرفته‌اند، عبارتند از: تسليح با استفاده از ملات سیمانی مسلح شده به شبکه الیاف (TRC) و تسليح با استفاده از میلگرد بستر. تمام نمونه‌های مورد مطالعه دیوار غیرسازه‌ای می‌باشند. بنابراین، بر اساس ضوابط پیوست ششم استاندارد ۲۸۰۰ و ضوابط فصل دوازدهم تجدید نظر اول نشریه ۲۱۴ سازمان برنامه و بودجه کشوری به اندازه حداقل دو مقدار ۳ سانتی‌متر و یک درصد ارتفاع قاب از تیر و ستون جداسازی شده‌اند.

اولین نمونه، دیوار بدون تقویت می‌باشد که به عنوان نمونه شاهد در نظر گرفته شده است. دیوار دوم، دیواری است که با استفاده از تقویت با میلگرد بستر مسلح شده است. در نمونه آخر، دیوار با استفاده از ملات مسلح شده به شبکه الیاف بر روی هر دو وجه مسلح شده است. الگوی بارگذاری داخل صفحه نمونه‌ها براساس نشریه FEMA۴۶۱ بوده است. در این الگو، هر دامنه تغییر مکان، دو چرخه تکرار شده است. اصلاح انجام شده جهت اعمال اثر بار خارج از صفحه نیز به گونه‌ای است که در هر دامنه تغییر مکان، چرخه اول بارگذاری بدون بار خارج از صفحه بوده است. پس از آن، نیروی خارج از صفحه به تدریج از صفر تا مقدار تعیین

جدول ۱. نتایج آزمون مقاومت فشاری.

P(MPa)	F(kN)	نمونه
۳/۲۱	۱۳۸/۶۶	۱
۲/۷۸	۱۲۰/۳۵	۲
۳/۱۳	۱۳۵/۴۰	۳
۳/۰۴	میانگین	



شکل ۳. الف) مشن الیاف شیشه و ب) نمونه آماده شده به منظور انجام آزمایش کشش.

جدول ۳. طرح اختلاط ماتریس سیمانی.

$۱۲۱۴ \text{ Kg/m}^۳$	ماسه
$۷۰۰ \text{ Kg/m}^۳$	سیمان
$۲۸۰ \text{ Kg/m}^۳$	آب
۷٪ وزن سیمان	فوق روان کننده

جدول ۴. مشخصات مکانیکی میلگرد بستر.

متوجه تنش حداچار شدن (MPa)	متوجه استحکام نهایی (MPa)
$۶۰۲/۶۶$	$۷۲۷/۶۶$

میلی متر) و آب است (جدول ۳). میانگین مقاومت فشاری مشخصه این ملات براساس $b=۲۰ \text{ cm}$ - $C=۱۰ \text{ cm}$ [۲۴] ASTM C۱۰۹M برابر با ۴۰ MPa مگاپاسکال بود.

۳.۲. میلگرد بستر

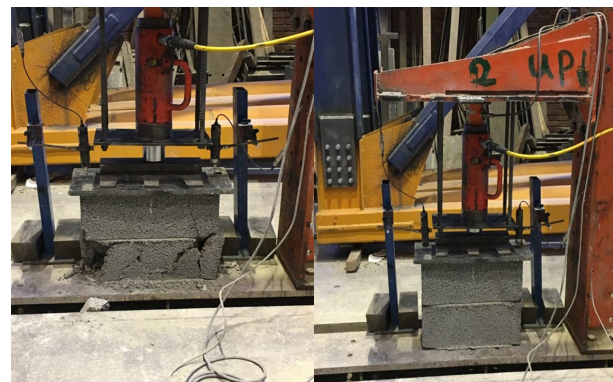
در این بخش، مشخصات مکانیکی میلگرد بستر مورد استفاده در تقویت نمونه براساس استاندارد ASTM A۹۵۱ [۲۵] در جدول ۴ ارائه شده است.

۳.۳. جزئیات اجرای نمونه ها

در این آزمایشات، سه دیوار بنایی تحت آزمایش چرخه ای قرار گرفته اند تا اثر جدا سازی دیوار و تقویت آن با استفاده از دو روش مختلف مقاوم سازی شامل مقاوم سازی با میلگرد بستر و مقاوم سازی با ملات مسلح شده به شبکه الیاف بر روی دیوارهای بنایی غیر مسلح مورد بررسی قرار گیرد.

۳.۴. نمونه اول: نمونه جدا سازی شده (نمونه شاهد)

این نمونه دیوار به ضخامت ۱۵ cm میلی متر به ابعاد $۳۰ \times ۰.۵ \text{ m}$ میلی متر در قاب فولادی با مشخصات مذکور ساخته شده است. به منظور مهار خارج از صفحه دیوار، به دلیل اینکه جزئیات اتصال دیوار به ستون های کناری از نوع اتصال کشویی با استفاده از نبیشی گرم نورد می باشد، قبل از اجرای دیوار نبیشی ها (نبیشی نمره ۶) به طول ۱۰ cm میلی متر در محل خود بر روی ستون جوش شدند. برای اجرای دیوار، ابتدا یک لایه ملات ماسه سیمان اجرا شده، سپس ردیف اول بلوک ها بر روی ملات ماسه سیمان قرار گرفت. به منظور جدا سازی دیوار از ستون، بلوک ها به شکلی چیده شده است که از طرفین دیوار حدود ۳ cm میلی متر فضای خالی بین



الف) ابزاربندی آزمایش؛

ب) مدل شکست فشاری.

شکل ۱. آزمایش فشاری بنایی.



شکل ۲. الف) تنظیمات آزمون کشش قطری (برش) و ب) مدل شکست فشاری پنجه.

جدول ۲. نتایج آزمون مقاومت فشاری.

نمونه	قطعی (kN)	ظرفیت بار باری (kN)	مود شکست
۱	$۱۰۴/۳۸$	$۱۰۴/۳۸$	پنجه
۲	$۹۵/۶۹$	$۹۵/۶۹$	پنجه
۳	$۱۱۰/۸۹$	$۱۱۰/۸۹$	پنجه

۲.۲.۲ آزمایشات TRC

الیاف: در این بخش، مشخصات مکانیکی چند رشته ای های شیشه مورد استفاده در تقویت نمونه براساس استاندارد ASTM E2098M-13 [۲۶] ASTM E2098/E2098M-13 [۲۶] ارائه شده است. وزن متر مربع مشن الیاف مورد استفاده برابر با $۱۵ \text{ g/m}^۲$ برابر با $۱۵ \text{ g/m}^۲$ میلی متر مربع می باشد. این مشن الیافی متتشکل از چند رشته ای های شیشه می باشد که از مقاومت مکانیکی مناسبی برخوردار بوده و چسبندگی خوبی با ماتریس سیمانی دارد. فاصله چشممه ها در جهت تار و بود ۵ mm میلی متر است (شکل ۳). مساحت اسمی چند رشته ای های شیشه مورد استفاده در این تحقیق برابر با $۰/۰۲۲ \text{ m}^۲$ میلی متر مربع می باشد. آزمایش مقاومت کششی بر روی نمونه هایی از چند رشته ای شیشه ای مورد استفاده انجام شد که میانگین مقاومت کششی چند رشته ای $۱۰/۰ \text{ MPa}$ مگاپاسکال بوده است.

ماتریس سیمانی: به منظور به دست آوردن مقاومت فشاری ماتریس سیمانی به عنوان مصالحی که برای چسباندن مشن الیافی به سازه بتنی استفاده می شود، شش نمونه مکعبی $۵ \times ۵ \times ۵ \text{ cm}^۳$ میلی متر مکعب ساخته شد. این ماتریس متشکل از سیمان پرتلند نوع دو به همراه ریزدانه (با اندازه دانه هایی کمتر از 1 mm)

۳.۳.۲. نمونه سوم: نمونه جداسازی شده و تقویت شده با مش دو طرفه

TRC

این نمونه دیوار همانند نمونه شماره ۱ ساخته شده است. پس از ساخت کامل، به منظور تقویت دیوار در جهت خارج از صفحه، از TRC در دو طرف دیوار استفاده شده است. به همین منظور، الیاف روی کل سطح دیوار قرار گرفت (شکل ۶الف) و پس از این مرحله، روی الیاف لایه نهایی ملات اعمال شده است (شکل ۶ب).

۴. ابزاربندی

به منظور انجام آزمون‌های چرخه‌ای، دیوار در قاب فولادی به ابعاد 3000×3000 میلی‌متر مربع ساخته شده است. ستون‌ها و تیر قاب از مقطع IPE 180 و اتصال تیر به ستون از نوع مفصلی بوده و اتصال قاب به کف صلب آزمایشگاه به صورت گیردار می‌باشد. به منظور اعمال تیروی جانبی از دو جک هیدرولیکی به ابعاد 1500×1500 میلی‌متر مربع استفاده شده است. به منظور افزایش سطح نیرو، دو نیروسنجه در دو سمت قاب و در پشت جک‌ها تعییه شد. همچنین، به منظور اندازه‌گیری تغییرمکان نقاط مختلف دیوار از دو تغییرمکان سنج در قسمت میانی دیوار و یک تغییرمکان سنج در قسمت میانی بالای دیوار استفاده شده است (شکل ۷).



شکل ۶. نمونه شماره ۳ تقویت شده با مش الیافی.



شکل ۷. ابزاربندی نمونه شماره ۳.

دیوار و ستون وجود داشته باشد. برای این منظور، پلی استایرن به ضخامت 30 میلی‌متر در فضای بین ستون و دیوار جایگذاری شد. به همین ترتیب تا انتهای دیوار بلوك چینی انجام و در ردیف آخر بالای دیوار 30 میلی‌متر فضای خالی در نظر گرفته شد و جهت مهار خارج از صفحه دیوار، سه عدد نبیشی نمره 6 به طول 100 میلی‌متر در فواصل مساوی در هر دو طرف و هر دو سمت دیوار تعییه شده است. نمای کلی نمونه شماره ۱ در شکل ۴ نشان داده شده است.

۳.۳.۲. نمونه دوم: نمونه جداسازی شده و تقویت شده با میلگرد بستر

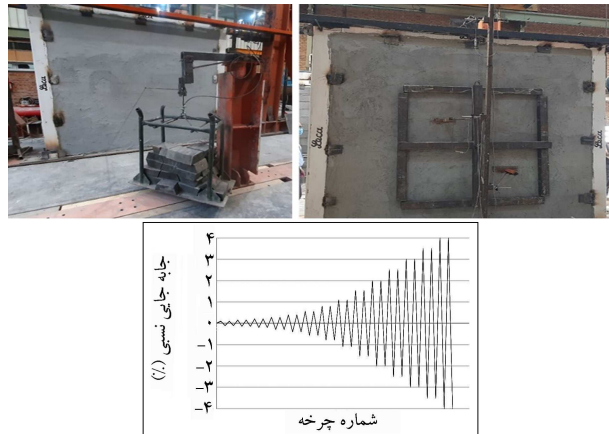
این نمونه دیوار به ضخامت 150 میلی‌متر به ابعاد 3000×3000 میلی‌متر در 3000 میلی‌متر در قاب فولادی با مشخصات نمونه شاهد ساخته شد. با توجه به اینکه چرتیات اتصال دیوار به ستون‌های کناری از نوع شاخک انتهای انتخاب شد، قبل از اجرای دیوار، شاخک‌ها در محل خود بر روی ستون (در ارتفاع هر دو رج بلوك چینی) جوش و نصب شدند. برای اجرای دیوار، ابتدا یک لایه ملات ماسه سیمان اجرا شد. سپس، ردیف اول بلوك‌ها بر روی ملات ماسه سیمان قرار گرفتند. بلوك‌ها طوری چیده شدند که از طرفین دیوار حدود 30 میلی‌متر فضای خالی بین دیوار و ستون وجود داشته باشد. پس از اینکه دو ردیف اول بلوك چینی انجام شد، شبکه میلگرد بستر به قطر 4 میلی‌متر تعییه شد و ملات ماسه سیمان بر روی آن اجرا شد. به همین ترتیب تا انتهای دیوار بلوك چینی انجام و در هر دو ردیف از شبکه میلگرد بستر جهت تسلیح دیوار استفاده شد. در ردیف آخر بالای دیوار 30 میلی‌متر فضای خالی در نظر گرفته شد و جهت مهار خارج از صفحه دیوار، سه عدد نبیشی نمره 6 به طول 100 میلی‌متر در فواصل یک سوم میانی تعییه شد. نمای کلی نمونه شماره ۲ در شکل ۵ نشان داده شده است.



شکل ۴. نمونه شماره ۱.



شکل ۵. نمونه شماره ۲ تقویت شده با میلگرد بستر.



شکل ۸. الف) نحوه اعمال بار خارج از صفحه ب) چرخه بارگذاری داخل صفحه.

$$R_\mu = \left(\frac{1/R}{\Omega_s} \right) \geq 1/3 \rightarrow R_\mu = 1/3 \quad (5)$$

R : ضریب رفتار سازه طبق استاندارد ۲۸۰۰؛
 Ω_s : ضریب اضافه مقاومت برای سازه طبق استاندارد ۲۸۰۰.
 برای اعمال این بار از قطعات سری استفاده شد و این نیرو به صورت افقی در محدوده مربع شکل به ابعاد ۱۵۰۰ در ۱۵۰۰ میلی‌متر مربع مطابق جزئیات شکل ۸الف در وسط دیوار اعمال شد. بارگذاری داخل صفحه پروتکل بارگذاری شکل ۸ اعمال شده که این بارگذاری به صورت کتترل شونده توسط تغییر مکان می‌باشد. در الگوی بارگذاری داخل صفحه، تعداد ۲۳ چرخه بارگذاری جانبی معکوس شونده در نظر گرفته شد و این چرخه‌ها از تغییر مکان نسیی جانبی ۱٪ درصد شروع و تغییر مکان نسیی ۴٪ درصد ادامه پیدا کرد. هر چرخه بارگذاری دو بار تکرار شد که در چرخه‌های فرد، بار داخل صفحه به همراه بار خارج از صفحه اعمال شد و در چرخه‌های زوج تنها بار داخل صفحه به نمونه اعمال شد. بارگذاری اعمال شده به نمونه‌ها با سرعت بسیار پایین انجام شد تا اثر افزایش مقاومت مصالح در پاسخ نمونه‌ها نقشی نداشته باشد. این روش آزمایش به نام روش شبه استاتیکی شناخته می‌شود.

۳. نتایج و بحث

براساس اطلاعات حاصل از آزمایشات انجام شده، نتایج زیر مورد بررسی قرار گرفت.

۳.۱. رفتار چرخه‌ای

نمودار هیسترزیس نمونه‌ها در شکل ۹ نشان داده شده است.

۳.۲. منحنی بک‌بون

منحنی بک‌بون^۹ نمونه‌های شماره ۲ و ۳ در شکل ۱۰ نشان داده شده است. براساس نتایج، بارگذاری نمونه شاهد (نمونه شماره ۱) تنها تا جایه جایی نسیی ۰/۲ درصد ادامه یافت و در این جایه جایی نسیی، نمونه دچار خرابی و تغییر مکان زیاد خارج از صفحه شد که به دلیل شدت خرابی امکان ادامه آزمایش پس از این مرحله وجود نداشت. در نمونه شماره ۲ (نمونه تقویت شده با میلگرد بستر)،

۵. پروتکل بارگذاری

بارهای واردہ به دیوار شامل بارهای خارج از صفحه و داخل صفحه می‌باشند. بارگذاری داخل صفحه دیوار به صورت چرخه‌ای می‌باشد که هر دامنه آن دو چرخه تکرار شده است. بارگذاری به گونه‌ای انتخاب شد که در چرخه‌های فرد، ابتدا بار خارج از صفحه اعمال شده و پس از آن بار داخل صفحه در حضور بار خارج از صفحه به صورت چرخه رفت و برگشت اعمال شد. در چرخه‌های زوج، تنها بار داخل صفحه به نمونه اعمال شد. در واقع، هر سه حالت اثر زلزله بر روی دیوار که عبارتند از: اثر نیروی زلزله در راستای دیوار به تهیایی، اثر نیروی زلزله در راستای عمود بر دیوار به تهیایی و اثر توامان این دو با یکدیگر مورد بررسی قرار گرفته است.

بار خارج از صفحه، بار معادل زلزله وارد بر دیوار می‌باشد که مطابق ضوابط طراحی لرزه‌ای اجزای غیرسازه‌ای ASCE-7-۲۰ [۳۷] و با استفاده از روابط زیر محاسبه شده و برابر با ۹ کیلونیوتون در نظر گرفته شده است.

$$\begin{aligned} F_P &= ۰,۴ A (1 + S) W_P I_P \left(\frac{H_f}{R_\mu} \right) \left(\frac{C_{AR}}{R_{po}} \right) \\ &= ۰,۴ \times ۰,۳۵ \times (1 + ۲,۵) \times ۱۶۲۳ \\ &\times ۹,۸۱ \times ۱ \times \left(\frac{۲,۲۵}{۱,۳} \right) \times \left(\frac{۱}{۱,۵} \right) \\ &\cong ۹۰۰۰ N = ۹ kN \end{aligned} \quad (1)$$

$$\begin{aligned} F_{P\min} &= ۰,۳ A (1 + S) W_P I_P \\ &= ۰,۴ \times ۰,۳۵ \times (1 + ۲,۵) \times ۱۶۲۳ \times ۹,۸۱ \times ۱ \\ &\cong ۵۸۵۰ N = ۵,۸۵ kN \end{aligned} \quad (2)$$

$$\begin{aligned} F_{P\max} &= ۱,۶ A (1 + S) W_P I_P \\ &= ۱,۶ \times ۰,۳۵ \times (1 + ۲,۵) \times ۱۶۲۳ \times ۹,۸۱ \times ۱ \\ &\cong ۳۱۲۰۰ N = ۳۱,۲ kN \end{aligned} \quad (3)$$

که در روابط بالا:

F_P : نیروی جانبی زلزله؛
 $F_{P\min}$: حداقل نیروی جانبی زلزله؛
 $F_{P\max}$: حداکثر نیروی جانبی زلزله؛

A : شتاب پایه؛

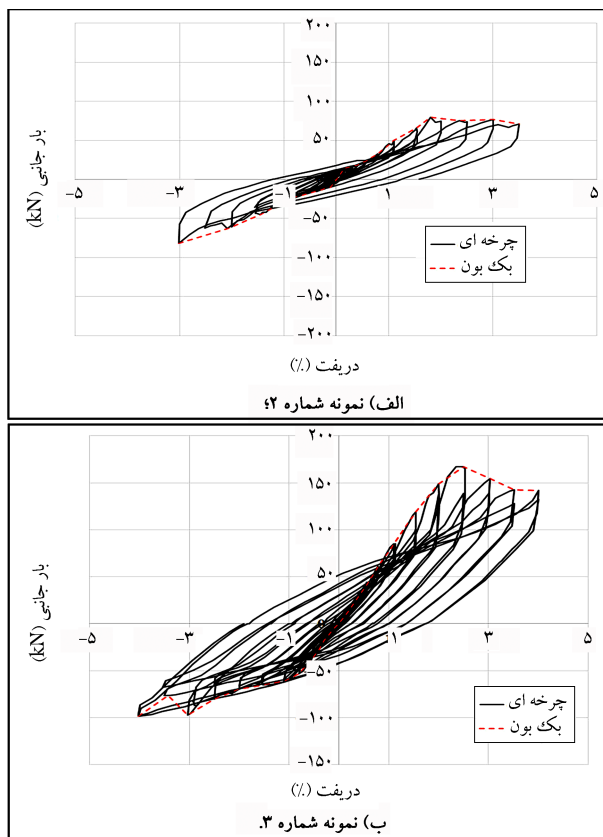
S : ضریب شتاب طیفی؛
 I_P : ضریب اهمیت جزء؛

W_P : وزن جز غیرسازه‌ای همراه با محتویات آن در زمان بهره‌برداری؛
 H_f : ضریب بزرگ‌نمایی نیرو که تابعی از ارتفاع مرکز جرم جز از تراز پایه می‌باشد که براساس رابطه ۴ محاسبه می‌شود.

R_μ : ضریب کاهش ناشی از شکل پذیری که براساس رابطه ۵ محاسبه می‌شود.
 C_{AR} : ضریب تشدید برای تبدیل حداکثر شتاب پایه به شتاب حداکثر جزء

$$H_f = ۱ + ۲,۵ \left(\frac{Z}{H} \right) = ۱ + ۲,۵ \left(\frac{۱}{۲} \right) = ۲,۲۵ \quad (4)$$

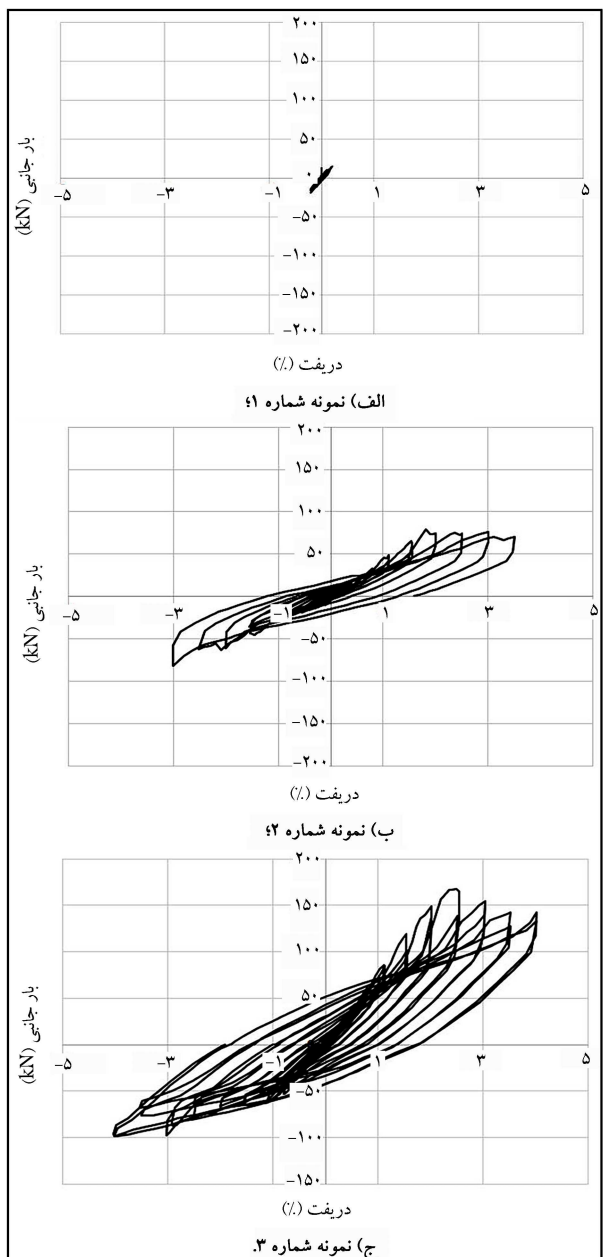
Z : ارتفاع متوسط بام ساختمان از تراز پایه؛
 H : ارتفاع محل اتصال جز غیرسازه‌ای نسبت به تراز پایه.



شکل ۱۰. نمودار هیسترزیس.

نسبت به نمونه تقویت شده با میلگرد بستر حدود ۱۵ و ۵۴ درصد افزایش یافته است.

با توجه به نتایج، سختی اولیه نمونه‌ها (قبل از شروع خرابی) بیشتر از سختی سکاناتی آن‌ها می‌باشد. همچنین، متوسط سختی اولیه و سختی سکاناتی در هنگام کاهش مقاومت نمونه تقویت شده با میلگرد بستر به ترتیب ۳۲۷۲ و ۱۰۶۲ کیلونیوتون بر متر بوده و این مقادیر در نمونه تقویت شده با TRC به ترتیب برابر با ۱۹۶۳ و ۱۶۳۹ کیلونیوتون بر متر می‌باشد. بنابراین، سختی اولیه و سکاناتی نمونه تقویت شده با TRC نسبت به نمونه تقویت شده با میلگرد بستر به ترتیب حدود ۵۰/۰ و ۵۴/۰ برابر می‌باشد.



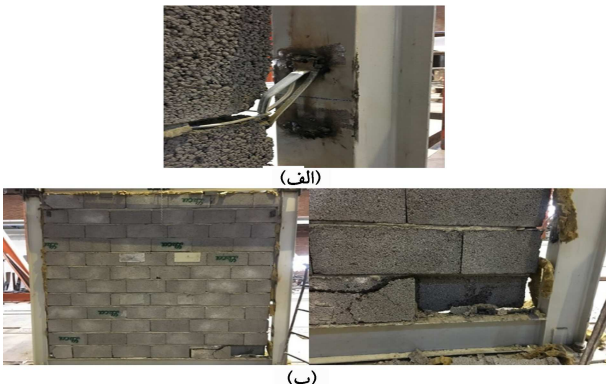
شکل ۹. نمودار هیسترزیس.

۳.۳. تغییرمکان خارج از صفحه
تغییرمکان خارج از صفحه نمونه‌ها حاصل می‌انگین تغییرمکان‌های خارج از صفحه اندمازه‌گیری شده توسعه دو تغییرمکان‌سنج نصب شده در قسمت میانی نمونه‌ها می‌باشد. بر همین اساس، نمودار تغییرمکان خارج صفحه-تغییر مکان نسبی نمونه‌های شماره ۱، ۲ و ۳ در شکل ۱۱ نشان داده شده است. با توجه به این نمودار، حداکثر تغییر مکان خارج از صفحه نمونه شماره ۱، ۲ و ۳ به ترتیب ۴۷/۵ و ۴۳/۳ و ۴۷/۱ کیلو متر می‌باشد. همانطور که در شکل ۱۱ الف نشان داده شده است، نمونه شماره ۱ در جایه‌جایی نسبی حدود ۱۵/۰ درصد دچار تغییرمکان زیاد خارج از صفحه شده و این امر موجب خرابی کلی سازه در همین جایه‌جایی شده که مانع از ادامه آزمایش شد. از طرف دیگر، تغییر مکان خارج از صفحه نمونه‌های شماره ۲ و ۳ در متوسط تغییر مکان نسبی مربوط به کاهش مقاومت به ترتیب ۳۲/۱۷ و ۴۵/۲۱ درصد می‌باشد.

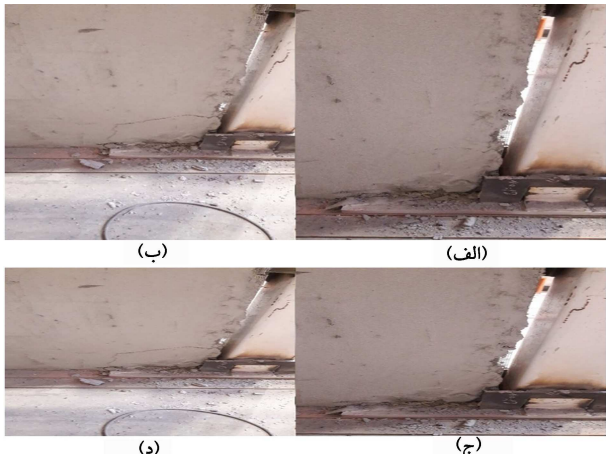
مقاومت حداکثر در بخش منفی در جایه‌جایی نسبی ۱/۸ درصد و با نیروی ۷۹/۳ کیلونیوتون و در بخش مشبт نیز در جایه‌جایی نسبی ۳/۰ درصد با حداکثر نیروی ۸۱/۵ کیلونیوتون رخ داده است. بر همین اساس، متوسط جایه‌جایی نسبی مقاومت حداکثر آن ۲/۴ و متوسط حداکثر نیروی داخل صفحه اعمال شده نیز ۴/۸ کیلونیوتون می‌باشد. در نمونه شماره ۳ (نمونه تقویت شده با TRC)، مقاومت حداکثر در بخش منفی در جایه‌جایی نسبی ۳/۰ درصد و با نیروی ۹۷ کیلونیوتون و در بخش مشبт نیز در جایه‌جایی نسبی ۲/۵ درصد با حداکثر نیروی ۱۶۷ کیلونیوتون رخ داده است. بر همین اساس، متوسط تغییر مکان نسبی مربوط به مقاومت حداکثر آن ۲/۷۵ و متوسط حداکثر نیروی داخل صفحه اعمال شده نیز ۷/۱۲۳ کیلونیوتون می‌باشد. بنابراین، متوسط جایه‌جایی نسبی مقاومت حداکثر و حداکثر نیروی داخل صفحه اعمال شده نمونه تقویت شده با TRC



شکل ۱۲. الگوی ترک و خرابی در نمونه شماره ۱ در تغییر مکان نسبی ۰/۱۵ درصد.



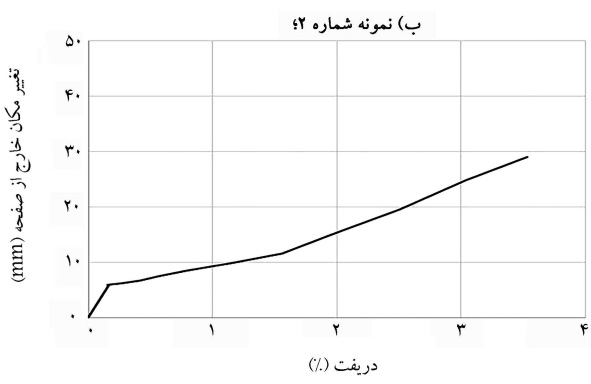
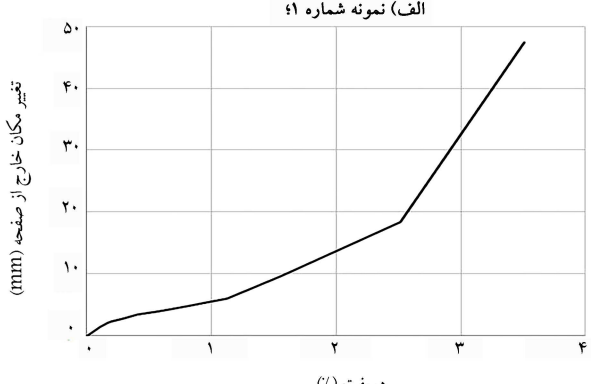
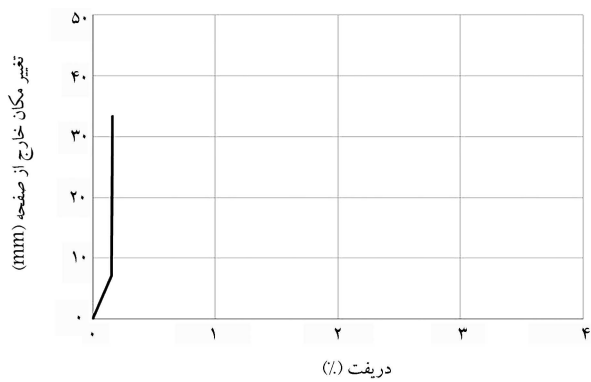
شکل ۱۳. (الف) شکسته شدن جوش بست انتهایی (ب) خردشگی بلاوک های گوشه.



شکل ۱۴. مراحل خرابی نمونه شماره ۳.

۰/۱۵ درصد درجهت رفت، بلندشدنگی دیوار از کف اتفاق افتاد. در ادامه، در تغییر مکان نسبی ۱/۱ درصد و نیروی داخل صفحه ۵۰ کیلونیوتون، ترک خوردگی بلاوک گوشه چپ بالای دیوار مشاهده شد. سپس در تغییر مکان نسبی ۱/۵ درصد، جوش بست شاخصهای انتهایی شکسته شد (شکل ۱۳الف). در انتهای، در تغییر مکان نسبی ۳ درصد، درجهت بگشت و نیروی داخل صفحه ۷۷ کیلونیوتون، بلاوک پایین سمت راست خرد شد (شکل ۱۳).

مراحل خرابی نمونه شماره ۳ در شکل ۱۴ نشان داده شده است. با توجه به مشاهدات آزمایشگاهی انجام شده، اولین ترکهای مویی در ملات از تغییر مکان



شکل ۱۱. نمودار تغییر مکان خارج صفحه - تغییر مکان نسبی داخل صفحه.

میلی متر می باشد. با توجه به نتایج مشاهده می شود که تقویت نمونه با TRC نسبت به نمونه تقویت شده با میلگرد بستر با افزایش مقاومت خارج از صفحه دیوار موجب کاهش حدود ۳۹ درصدی حداکثر تغییر مکان خارج از صفحه دیوار شد و دیوار تقویت شده با مشیاف تا تغییر مکانی ۲۴ درصد بیش از نمونه تقویت شده با میلگرد دچار افت مقاومت نشد.

۴.۳. الگوی ترک و خرابی

نمونه شماره ۱ (نمونه جداسازی شده بدون تقویت)، در چرخه های ابتدایی آزمایش و در جابه جایی نسبی ۰/۱۵ درصد و نیروی ۱۹/۳ کیلونیوتون دچار ناپایداری خارج از صفحه و خرابی کلی سازه شد که در شکل ۱۲ نمای کلی نمونه در این جابه جایی نسبی نشان داده شده است.

در آزمایش مربوط به نمونه شماره ۲، بر اساس مشاهدات در تغییر مکان نسبی

درون صفحه ۴ درصد نیز پایداری عمود بر صفحه خود را حفظ می‌کنند. البته میزان جایه‌جایی عمود بر صفحه و کاهش سختی در دو دیوار بسته به روش تسلیح متفاوت است. مساله دیگر، مود خرابی حاکم می‌باشد که در دو روش تسلیح انجام شده با توجه به افزایش ظرفیت قابل توجه کششی دیوار مسلح شده علاوه مود خرابی کششی حاکم نمی‌باشد. در روش‌های تسلیح، علاوه مود خرابی حاکم، خرابی فشاری بلوك می‌باشد.

۴. نتیجه‌گیری

در این تحقیق رفتار لرزه‌ای دیوارهای غیرسازه‌ای تحت اثر اندرکنش بارهای خارج از صفحه و جایه‌جایی‌های داخل صفحه و دو روش مختلف مسلح‌سازی دیوار بررسی و مقایسه شد. بر همین اساس، سه نمونه دیوار تمام مقیاس از جنس بلوك سیمانی سبک که به اندازه یک درصد ارتفاع آن از قاب فولادی جداسازی شد، در آزمایشگاه بخش سازه مرکز تحقیقات راه، مسکن و شهرسازی ساخته و آزمایش شد. دیوار شماره ۱ به صورت شاهد و بدون تسلیح و در دیوار شماره ۲ دیوار به منظور تامین پایداری خارج از صفحه با میلگرد بستر مسلح‌سازی شد. نمونه شماره ۳ نیز از دو طرف با استفاده از ملات بتنی مسلح شده با مش الیاف شبیه مسلح شد. عملکرد لرزه‌ای این دیوارها تحت بار خارج صفحه معادل بار زلزله آین نامه و جایه‌جایی نسبی چرخه‌ای داخل صفحه مورد بررسی قرار گرفت. نتایج آزمایشات در قالب نمودارهای هیسترزیس، منحنی بکبوس، نمودار تغییر مکان خارج از صفحه - تغییر مکان نسبی و الگوی ترک مورد ارزیابی قرار گرفتند. برخی از مهم‌ترین نتایج حاصل از این پژوهش عبارتند از:

۱. دیوارهای غیر سازه‌ای غیر مسلح شدیداً نسبت به اثر توان و سلسه‌وار بارهای لرزه‌ای داخل و خارج از صفحه حساس می‌باشند و به سرعت ناپایدار می‌شوند. در این راستا، دهانه کوچک دیوار یا وجود وال پست و نبیشی به تهایی جهت پایداری خارج از صفحه دیوار به تهایی کفایت نمی‌کند.

۲. هر دو روش مسلح‌سازی دیوار غیر سازه‌ای، پایداری خارج صفحه دیوار را تا جایه‌جایی نسبی داخل صفحه مجاز آین نامه برآورده نموده‌اند و برای تسلیح دیوار غیر سازه‌ای از کارایی مناسب برخوردار می‌باشند.

۳. روش تسلیح دیوار به وسیله ملات مسلح شده با مش الیاف نسبت به روش تقویت با میلگرد بستر موجب افزایش ۱۵ و ۵۴ درصدی جایه‌جایی نسبی مربوط به کاهش مقاومت دیوار و حداقل نیروی داخل صفحه شده است.

۴. با افزایش مقاومت خارج از صفحه در نمونه تقویت شده با مش الیاف، حداقل تغییر مکان خارج از صفحه دیوار نسبت به نمونه تقویت شده با میلگرد بستر حدود ۳۹ درصد کاهش یافته است. همچنین، تغییر مکانی که دیوار تقویت شده با مش الیاف دچار افت مقاومت شد، نسبت به نمونه تقویت شده با میلگرد، ۲۴ درصد افزایش داشته است. به عبارت دیگر سختی و شکل پذیری دیوار تقویت شده با مش الیافی به میزان قابل توجهی افزایش داشته است.

۵. ترک‌ها و خرابی در نمونه تقویت شده با ملات مسلح شده با الیاف به طور چشمگیری نسبت به روش تسلیح با میلگرد بستر کاهش یافته است. مجموعه موارد فوق، بیانگر کارایی بیشتر روش تسلیح دیوار با ملات مسلح شده با مش الیاف نسبت به روش میلگرد بستر می‌باشد.

نسبی ۵۶٪ درصد با نیروی داخل صفحه حدود ۴۰ کیلونیوتون در گوشه‌های دیوار شروع شد (شکل ۱۴الف). در ادامه، در جایه‌جایی نسبی ۲ درصد با نیروی داخل صفحه حدود ۱۰۹ کیلونیوتون، این ترک‌ها عمیق‌تر شدند (شکل ۱۴ب). با ادامه دادن آزمایش، در جایه‌جایی نسبی ۲/۵ درصد و با نیروی داخل صفحه حدود ۱۲۳ کیلونیوتون، خردشدنگی در بلوك‌های گوشه‌های دیوار مشاهده شد (شکل ۱۴ج). در نهایت، نمونه به دلیل خردشدنگی بیشتر بلوك‌های گوشه دچار کاهش مقاومت شد اما باقی قسمت‌های دیوار بدون ترک و سالم باقی ماند (شکل ۱۴د). با توجه به مشاهدات، این نمونه دارای متریک ترک و آسیب نسبت به دو نمونه قبلی در تغییر مکان‌های نسبی مشابه می‌باشد.

با توجه به مشاهدات انجام شده، نمونه شاهد که بدون تقویت اجرا شده بود، پیش از اعمال جایه‌جایی داخل صفحه، در برابر بار معادل لرزه‌ای خارج از صفحه آین نامه پایداری کرد. بلاعده پس از اعمال جایه‌جایی خارج از صفحه و پس از دامنه از جایه‌جایی داخل صفحه در چرخه‌های ابتدا آزمایش و در جایه‌جایی نسبی ۱۵٪ درصد، نمونه دچار ناپایداری خارج از صفحه و خرابی کلی و ریش دیوار شد. این مساله نشان می‌دهد که دیوارهای غیر سازه‌ای غیر مسلح شدیداً نسبت به اثر توان و سلسه‌وار بارهای لرزه‌ای داخل و خارج از صفحه حساس می‌باشند و به سرعت ناپایدار می‌شوند. در این آزمایش، ستون‌ها با توجه به دهانه سه متري آن می‌توانند وظیفه وال پست را برای دیوار غیر سازه‌ای بر عهده بگیرند، اما همانطور که مشاهد می‌شود، محلود شدن دهانه دیوار و نگه داشتن دیوار با استفاده از نبیشی در اطراف آن در محل اتصال به تیرو ستون به تهایی موجب پایداری دیوار نمی‌شود. گسیختگی ۱ همچنین، با توجه به نتایج آزمایشات، روش تسلیح TRC از روش میلگرد بستر کاربرد بوده است. در توضیح این امر می‌توان گفت که در راستای قائم، وزن دیوار و وجود ملات کامل در راستای افقی، به باربری دیوار کمک می‌کند و ظرفیت باربری دیوار در این راستا نسبت به راستای افقی بیشتر می‌شود. نکته دیگر این است که قرارگیری الیاف به عنوان عضو کششی در سطح خارجی دیوار در روش TRC موجب می‌شود بازوی خمشی و کارایی آن در مقایسه با میلگرد بستر که در داخل ملات دیوار قرار می‌گیرد، بیشتر شود. همچنین، در صورت تسلیح با میلگرد بستر، به علت راستای افقی تسلیح، در هر ۳ تا ۴ متر طول دیوار باید یک وال پست قائم اجرا شود که این مساله نیز موجب افزایش هزینه‌های روش میلگرد بستر می‌شود. در حالی که در روش TRC، با توجه به راستای قائم تسلیح، نیازی به اجرای وال پست نمی‌باشد. باید توجه داشت که مطالعه انجام شده، بررسی رفتار لرزه‌ای دیوارهای غیر سازه‌ای می‌باشد. رفتار چنین دیواری از دیوار میانقابی متفاوت است و بر عکس دیوار میانقابی از چنین دیواری توقع باربری جانبی درون صفحه نمی‌رود. نکته اساسی در این ارزیابی دو مساله زیر است:

-- آیا بارگذاری چرخه‌ای درون صفحه موجب کاهش سختی و مقاومت و میران باربری دیوار در جهت عمود بر صفحه می‌گردد؟

-- در جایه‌جایی‌های بیشتر از ۱ درصد، آیا دیوار غیر سازه‌ای می‌تواند موجب افزایش ظرفیت قاب گردد یا خیر.

همانطور که مشاهده می‌شود، دیوار غیر مسلح تحت اثر بار عمود بر صفحه که بار ناشی از اینرسی دیوار در زلزله می‌باشد و جایه‌جایی نسبی درون صفحه قاب پس از چند سیکل و در دامنه بسیار کوچک، ظرفیت باربری عمود بر صفحه خود را از دست می‌دهد و فرو می‌ریزد. در حالی که دو دیوار دیگر تا جایه‌جایی نسبی

پانوشت‌ها

1. Fiber Reinforced Polymers (FRP)
2. Textile Reinforced Concrete (TRC)
3. Textile Reinforced Mortar (TRM)
4. Fiber Reinforced Cementitious Matrix (FRCM)
5. Inorganic Matrix Grid (IMG)
6. Manually
7. Sprayed
8. Multifilament
9. Backbone Curve

منابع (References)

1. Shabdin, M., Attari, N.K.A. and Zargaran, M., 2019. Experimental study on seismic behavior of unreinforced masonry (URM) brick walls strengthened in the boundaries with shotcrete experimental study on seismic behavior of unreinforced masonry (URM) brick walls strengthened in the boundaries. *J Earthq Eng.*, 25(1), 00, pp.1-27. <https://doi.org/10.1080/13632469.2019.1577763>.
2. Asadzadeh, S.A., Mohammadi, M., Attari, N.K.A. and Alireza, S., 2020. An experimental study on finding prequalified connectors between the wall and steel frame infilled with autoclave-cured aerated concrete blocks. *J Earthq Eng.*, 26(2), 1-20 <https://doi.org/10.1080/13632469.2020.1822231>.
3. Asadzadeh, S.A., Mohammadi, M., Attari, N.K.A. and Zareei, S.A., 2020. An experimental study on the effect of frame-to-wall connection type on the seismic behavior of steel frames infilled with autoclave-cured aerated concrete blocks. *Adv Struct Eng.*, 23, pp.642-56. <https://doi.org/10.1177/1369433219877789>.
4. Jasinski, R., 2019. Research on the influence of bed joint reinforcement on strength and deformability of masonry shear walls. *Materials*, 2543(12). <https://doi.org/10.3390/ma12162543>.
5. Appendix No.6 of Standard No. 2800 Seismic Design and Construction of Architectural Nonstructural Elements, Iranian Building Codes and Standards, Tehran, Iran (2019).
6. Instruction of Structure Design and Requirement of Cladding of Buildings (No. 714) Plan and Budget Organization, Tehran, Iran (2022).
7. ACI 530-11., 2011. Building code requirements and specification for masonry structures, American Concrete Institute.
8. Eurocode 6., 2006. Design of masonry structures, British Standard.
9. Azadvar, N., Zargaran, M., Rofooei, F.R., Attari, N.K.A., 2021. Experimental comparison of cyclic behavior of RC columns strengthened with TRC and FRP. *Bull Earthq Eng*, 19, pp.2941-70. <https://link.springer.com/article/10.1007/s10518-021-01092-2>.
10. Azadvar, N., Zargaran, M., Rahimzadeh Rofooei, F. and K.A.Attari, N., 2021. Numerical investigation of the effect of cross section shape, mortar strength and number of textile layers on cyclic behavior of RC columns. *Civ Eng Sharif*, 2, pp.105-15. <https://doi.org/10.24200/j30.2021.57462.2911>.
11. Martins, A., Vasconcelos, G., Fangueiro, R. and Cunha, F., 2015. Experimental assessment of an innovative strengthening material for brick masonry infills. *Composites Part B*, 80, pp.328-342. <https://doi.org/10.1016/j.compositesb.2015.06.012>.
12. Bernat-Maso, E., Gil, L. and Roca, P., 2015. Numerical analysis of the load-bearing capacity of brick masonry walls strengthened with textile reinforced mortar and subjected to eccentric compressive loading. *Engineering Structures*, 91, (Supplement C), pp.96-111. <https://doi.org/10.1016/j.engstruct.2015.02.032>.
13. Bernat, E., Gil, L., Roca, P. and Escrig, C., 2013. Experimental and analytical study of TRM strengthened brickwork walls under eccentric compressive loading. *Construction and Building Materials*, 44, pp.35-47. <https://doi.org/10.1016/j.conbuildmat.2013.03.006>.
14. Babaeidarami, S., Arboleda, D., Loreto, G. and Nanni, A., 2014. Shear strengthening of un-reinforced concrete masonry walls with fabric-reinforced-cementitious-matrix. *Construction and Building Materials*, 65, pp.243-253. <https://doi.org/10.1016/j.conbuildmat.2014.04.116>.
15. Papanicolaou, C.G., Triantafillou, T.C., Karlos, K., Papathanasiou, M., 2007. Textile-reinforced mortar (TRM) versus FRP as strengthening material of URM walls: In-plane cyclic loading. *Materials and Structures*, 40, pp.1081-1097. <http://dx.doi.org/10.1617/s11527-006-9207-8>.
16. Triantafillou, T.C., Papanicolaou, C.G., Panagiotis Zissimopoulos, P. and Laourdeki, T., 2006. Concrete confinement with textile-reinforced mortar jackets. *ACI Struct J*, 103, pp.28-37.
17. Ombres, L., 2007. Confinement effectiveness in concrete strengthened with fiber reinforced cement based composite jackets. FRPCS-8. Patras, Greece.
18. De Caso y Basalo, F.J., Matta, F. and Nanni, A., 2009. Fiber Reinforced Cementitious Matrix Composites for Infrastructure Rehabilitation. Proc Compos Poly, Tampa, FL, L, (USA).
19. Colajanni, P., De Domenico, F., Maugeri, N., Recupero, A., Spinella, N. and Mantegazza, G., 2012. Experimental results of RC columns strengthened with fiber reinforced cementitious mortars. In: *3rd International Conference on Concrete Repair, Rehabilitation and Retrofitting*. Cape Town, South Africa.
20. Thi-Loan Bui., Si Larbi, A., Reboul, N. and Ferrier, E., 2015. Shear behaviour of masonry walls strengthened by external bonded FRP and TRC. *Composite Structures*, 132, pp.923-932. <https://doi.org/10.1016/j.compstruct.2015.06.057>.
21. ASTM C1314-07., 2009. American Standard Test Method for Compressive Strength of Masonry Prisms, American Standard Test Method, West Conshohocken, PA, USA.
22. ASTM E519/E519M-10., 2009. American Standard Test Method for Diagonal Tension (Shear) in Masonry Assemblages, American Standard Test Method, West Conshohocken, PA, USA (2009).

23. ASTM E2098 / E2098M - 13., 2018. American Standard Test Method for Determining Tensile Breaking Strength of Glass Fiber Reinforcing Mesh for Use in Class PB Exterior Insulation and Finish Systems (EIFS), after Exposure to a Sodium Hydroxide Solution., American Standard Test Method, west conshohocken, PA, USA.
24. ASTM C109 / C109M-20b., 2020. American Standard Test Method for Compressive Strength of Hydraulic Cement Mortars (Using 2-in. or [50 mm] Cube Specimens). American Standard Test Method, West Conshohocken, PA, USA.
25. ASTM A951/A951M-16e1., 2016. American Standard Specification for Steel Wire for Masonry Joint Reinforcement., American Standard Test Method. East Conshohocken, PA, USA.
26. Shabdin, M., Zargaran, M. and Attari Nader, K.A., 2018. Experimental Diagonal Tension (shear) Test of Un-Reinforced Masonry (URM) Walls Strengthened with Textile Reinforced Mortar (TRM). *Construction and Building Materials*, 164, pp.704-715. <https://doi.org/10.1016/j.conbuildmat.2017.12.234>.
27. ASCE/SEI standard 7-21., 2021. Minimum design loads for buildings and other structures, ASCE/SEI, Reston, Virginia, USA.